



МИНИСТЕРСТВО НАУКИ И ВЫСШЕГО ОБРАЗОВАНИЯ  
РОССИЙСКОЙ ФЕДЕРАЦИИ  
Федеральное государственное автономное образовательное учреждение  
высшего образования  
«Национальный исследовательский  
Нижегородский государственный университет им. Н.И. Лобачевского»  
(ННГУ)

Институт информационных технологий, математики и механики  
Кафедра: Теории управления и динамики систем

Направление подготовки: «Фундаментальная информатика и информационные  
технологии»  
Профиль подготовки: «Когнитивные системы»

## ВЫПУСКНАЯ КВАЛИФИКАЦИОННАЯ РАБОТА МАГИСТРА

На тему:  
«Двухкластерные режимы в системе Курамото с инерцией»

**Выполнил(а):** студент(ка)  
группы 382006-3м  
Хорькин Дмитрий Сергеевич

---

подпись

**Научный руководитель:**  
доцент, к.ф.-м.н.  
Смирнов Лев Александрович

---

подпись

Нижний Новгород  
2022

## АННОТАЦИЯ

В данной работе рассматриваются двух кластерные вращательные движения в системе Курамото с инерцией. В частности изучается вопрос существования и устойчивости двух кластерных вращательных режимов в зависимости от управляющих параметров. Также был реализован программный комплекс, позволяющий эффективно находить интересные вращательные движения в произвольных системах связанных элементов. Было разработано web приложение, выполняющее прямое численное моделирование системы. Аналитические результаты подтверждены прямым численным моделированием.

## СОДЕРЖАНИЕ

<b>АННОТАЦИЯ</b> .....	2
<b>ВВЕДЕНИЕ</b> .....	4
<b>ГЛАВА 1. Модель Курамото. Двухкластерные вращательные режимы</b> ....	<b>5</b>
1.1. Модель Курамото с инерцией .....	5
1.2. Двух кластерные вращательные режимы. Существование и типы .....	5
<b>ГЛАВА 2. Устойчивость двухкластерных вращательных режимов</b> .....	<b>7</b>
2.1. Устойчивость двух кластерных вращательных движений с постоянной расстройкой фаз .....	7
2.2. Устойчивость двух кластерных вращательных движений с периодиче- ской расстройкой фаз .....	8
<b>ЗАКЛЮЧЕНИЕ</b> .....	13
<b>СПИСОК ЛИТЕРАТУРЫ</b> .....	14

## ВВЕДЕНИЕ

Сети фазовых осцилляторов часто используются для моделирования совместной динамики в различных биологических и искусственных системах, начиная от нейронных сетей [1] и популяций химических осцилляторов [2] до лазерных решеток [3] и электрических сетей [4]. Система фазовых осцилляторов Курамото первого порядка [5, 6] представляет собой широко адаптированную модель сети фазовых осцилляторов, которая может демонстрировать сложную пространственно-временную динамику при переходе от некогерентности к полной синхронизации [7–14]. Когда колебания в модели Курамото имеют неоднородные частоты, этот переход обычно сопровождается частичной синхронизацией, которая возникает, когда система распадается на кластеры когерентных и некогерентных осцилляторов [7, 14, 15]. В случае идентичных осцилляторов частичная синхронизация может превратиться в химерные состояния, которые представляют собой захватывающие паттерны, в которых даже структурно идентичные осцилляторы могут распадаться на две, возможно, асимметричные группы когерентных и некогерентных осцилляторов [16–19]. Химерные состояния были тщательно изучены в модели Курамото, а также в других сетях колебательных систем [19–28], включая связанные химические генераторы [2], сети метрономов [29], связанные маятники [30], педали на мосту [31], оптические системы и лазеры [32] и непрерывные среды [33, 34].

Целью данной работы является изучение двухкластерных вращательных режимов в системе Курамото с инерцией и фазовой задержкой, для успешного достижения которой выделены следующие задачи:

- 1) Исследование существования и типов возникающих двухкластерных вращательных режимов в зависимости от управляющих параметров.
- 2) Исследование устойчивости двухкластерных вращательных режимов.
- 3) Реализация программного комплекса, позволяющего эффективно находить интересные вращательные движения, а также определять их устойчивость в произвольных системах связанных элементов.

## МОДЕЛЬ КУРАМОТО. ДВУХКЛАСТЕРНЫЕ ВРАЩАТЕЛЬНЫЕ РЕЖИМЫ

### 1.1. Модель Курамото с инерцией

$$m\ddot{\varphi}_i + \dot{\varphi}_i = \omega + \frac{1}{N} \sum_{j=1}^N \sin(\varphi_j - \varphi_i - \alpha), i = \overline{1, N}, \quad (1.1)$$

где  $m$  - масса,  $\omega$  - вращающий момент,  $\alpha$  - фазовая задержка.

Предполагается, что осцилляторы являются идентичными, с идентичной частотой  $\omega$ , массой  $m$  и запаздыванием по фазе  $\alpha \in [0, \pi)$ . В системе 1.1 имеется синфазный режим, который локально стабилен для любого  $\alpha \in [0, \pi/2)$  и нестабилен для любого  $\alpha \in [\pi/2, \pi)$  [7]. В результате связь определяется как притягивающая для  $\alpha < \pi/2$  и отталкивающая для  $\pi/2 \leq \alpha < \pi$ .

### 1.2. Двух кластерные вращательные режимы. Существование и типы

Заметим, что двух кластерный режим описывается системой:

$$\begin{cases} m\ddot{\psi}_1 + \dot{\psi}_1 = \omega + \frac{N-K}{N} \sin(\psi_2 - \psi_1 - \alpha) - \frac{K}{N} \sin \alpha, \\ m\ddot{\psi}_2 + \dot{\psi}_2 = \omega + \frac{K}{N} \sin(\psi_1 - \psi_2 - \alpha) - \frac{N-K}{N} \sin \alpha, \end{cases} \quad (1.2)$$

где  $\psi_1, \psi_2$  - фазы первого и второго кластера соответственно,  $K$  - количество элементов в малом кластере. Введем новую переменную  $\beta = \frac{K}{N}$ , характеризующую долю малого кластера относительно всех элементов. Уравнение 1.2 перепишется в виде:

$$\begin{cases} m\ddot{\psi}_1 + \dot{\psi}_1 = \omega + (1 - \beta) \sin(\psi_2 - \psi_1 - \alpha) - \beta \sin \alpha, \\ m\ddot{\psi}_2 + \dot{\psi}_2 = \omega + \beta \sin(\psi_1 - \psi_2 - \alpha) - (1 - \beta) \sin \alpha. \end{cases} \quad (1.3)$$

Введем замену  $X = \psi_1 - \psi_2$ , характеризующую расстройку фаз между двумя кластерами. Вычитая из первого уравнения второе, 1.3 запишется в виде:

$$m\ddot{X} + \dot{X} = (1 - 2\beta) \sin \alpha - [(1 - \beta) \sin(X + \alpha) + \beta \sin(X - \alpha)]. \quad (1.4)$$

Заметим, что  $X = 0$  соответствует реализации синфазного вращательного режима. Если  $X \neq 0$ , это соответствует реализации двух кластерного режима.

Еще раз произведем замену переменных в уравнении 1.4:

$$\begin{aligned} R^2 &= (N - 2K)^2 \sin^2 \alpha + N^2 \cos^2 \alpha, \\ \rho &= \sqrt{\frac{N}{mR}}, \quad t = \hat{t} \frac{N}{\rho R}, \quad \gamma = \frac{N - 2K}{R} \sin \alpha, \\ \Phi &= X + \delta, \quad \delta = \arccos\left(\frac{N}{R} \cos \alpha\right). \end{aligned}$$

Мы получаем:

$$\frac{d^2 \Phi}{d\hat{t}^2} + \rho \frac{d\Phi}{d\hat{t}} + \sin \Phi = \gamma \quad (1.5)$$

Полученное уравнение 1.5 хорошо изучено. В зависимости от параметров  $\rho$ ,  $\gamma$ , в системе 1.5 могут существовать два состояния равновесия: устойчивая точка  $\Phi_e = \arcsin \gamma$  и седло  $\Phi_s = \pi - \arcsin \gamma$ , а также некоторое устойчивое периодическое вращательное движение. Данные соотношения определяются так называемой бифуркационной кривой Трикомми.

Таким образом в исходной системе могут существовать 2 типа двух кластерных вращательных режимов, первый характеризуется постоянной расстройкой фаз (стационарный), второй характеризуется периодической расстройкой фаз (нестационарный).

Область существования вращательного движения в уравнении 1.5 определяется соотношением:

$$\gamma \geq T(\rho), \quad (1.6)$$

где  $T(\rho) = \rho^{\frac{4}{\pi}} - 0.305\rho^3$  - уравнение, аппроксимирующее кривую Трикомми. Подставляя, получаем уравнения для границы области существования нестационарного вращательного движения в области параметров  $\alpha$ ,  $m$ :

$$m = \frac{1}{\sqrt{(1 - 2\beta)^2 \sin^2 \alpha + \cos^2 \alpha} \cdot T^{-1}\left(\frac{(1 - 2\beta) \sin \alpha}{\sqrt{(1 - 2\beta)^2 \sin^2 \alpha + \cos^2 \alpha}}\right)} \quad (1.7)$$

Заметим, что двухкластерный вращательный режим, соответствующий  $\beta = 0.5$  не существует.

## УСТОЙЧИВОСТЬ ДВУХКЛАСТЕРНЫХ ВРАЩАТЕЛЬНЫХ РЕЖИМОВ

### 2.1. Устойчивость двух кластерных вращательных движений с постоянной расстройкой фаз

Запишем 1.4 в виде системы:

$$\begin{cases} \dot{x} = y, \\ \dot{y} = \frac{1}{m} [(1 - 2\beta) \sin \alpha (1 - \cos x) - \sin x \cos \alpha - y] \end{cases} \quad (2.1)$$

Выполним линеаризацию системы 2.1:

$$\begin{pmatrix} \dot{\hat{x}} \\ \dot{\hat{y}} \end{pmatrix} = \begin{pmatrix} 0 & 1 \\ \frac{1}{m} [(1 - 2\beta) \sin \alpha \sin x_p - \cos \alpha \cos x_p] & -\frac{1}{m} \end{pmatrix} \begin{pmatrix} \hat{x} \\ \hat{y} \end{pmatrix} \quad (2.2)$$

Где  $x_p$  - стационарные состояния уравнения 1.4. Запишем характеристический многочлен системы 2.2:

$$\lambda^2 + \frac{1}{m} \lambda - \frac{1}{m} [(1 - 2\beta) \sin \alpha \sin x_p - \cos \alpha \cos x_p] = 0 \quad (2.3)$$

Из 2.3 можно заметить, что устойчивость стационарного состояния  $x_p$  определяется соотношением:

$$\cos \alpha \cos x_p - (1 - 2\beta) \sin \alpha \sin x_p > 0 \quad (2.4)$$

Несложно заметить, что стационарные состояния в уравнении 1.4 определяются:

$$\sin(x_p + \varphi) = \frac{(1 - 2\beta) \sin \alpha}{\sqrt{\cos^2 \alpha + (1 - 2\beta)^2 \sin^2 \alpha}},$$

Откуда:

$$x_{p1} = \begin{cases} 0, \alpha \in [-\pi/2, \pi/2) \\ 2 \arcsin \frac{(1-2\beta) \sin \alpha}{\sqrt{\cos^2 \alpha + (1-2\beta)^2 \sin^2 \alpha}} - \pi, \alpha \in [\pi/2, 3\pi/2) \end{cases} \quad (2.5)$$

$$x_{p2} = \begin{cases} \pi - 2 \arcsin \frac{(1-2\beta) \sin \alpha}{\sqrt{\cos^2 \alpha + (1-2\beta)^2 \sin^2 \alpha}}, \alpha \in [-\pi/2, \pi/2) \\ 0, \alpha \in [\pi/2, 3\pi/2) \end{cases} \quad (2.6)$$

Подставляя 2.5, 2.6 в 2.4 получаем, что  $x_{p1}$  - устойчива,  $x_{p2}$  - неустойчива.

Заметим, что при  $\beta$  стремящейся к 0.5 стационарные состояния с расстройкой фаз неравной нулю стремятся к  $\pi$  и  $-\pi$ . Стоит отметить, что в полной системе 1.1 стационарное двух кластерное состояние  $x_{p1}$  может терять свою устойчивость. Данный эффект будет показан ниже.

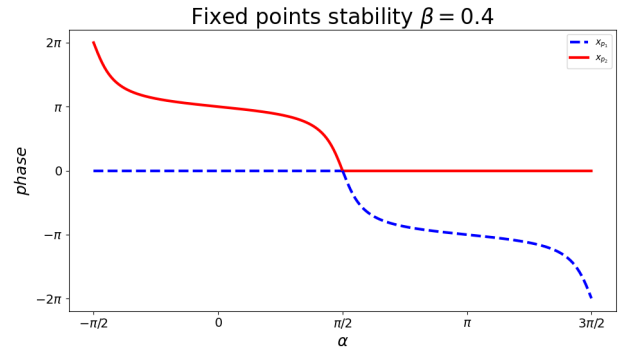
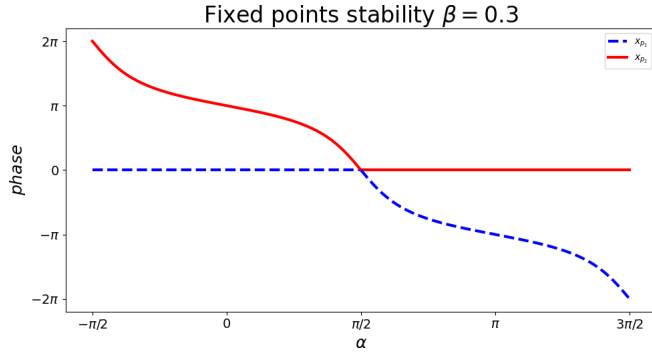


Рисунок 2.1. **Устойчивость стационарных состояний.** Синяя пунктирная линия - устойчивое состояние  $x_{p1}$ , Красная сплошная линия - неустойчивое состояние  $x_{p2}$ .  $\beta = 0.3$ ,  $\beta = 0.4$



Рисунок 2.2. **Устойчивость стационарных состояний.** Синяя пунктирная линия - устойчивое состояние  $x_{p1}$ , Красная сплошная линия - неустойчивое состояние  $x_{p2}$ .  $\beta = 0.494$

## 2.2. Устойчивость двух кластерных вращательных движений с периодической расстройкой фаз

Выполним линеаризацию относительно произвольного вращательного движения  $\psi_i$  с помощью замены  $\varphi_i = \psi_i + \delta_i$ :

$$m\ddot{\delta}_i + \dot{\delta}_i = \frac{1}{N} \sum_{j=1}^N \cos(\psi_j - \psi_i - \alpha) \cdot (\delta_j - \delta_i) \quad (2.7)$$

Для случая двух кластерного режима 1.2 это запишется в виде:

$$\begin{cases} m\ddot{\delta}_i + \dot{\delta}_i = \frac{1}{N} \left( \cos \alpha \sum_{j=1}^K (\delta_j - \delta_i) + \cos(X + \alpha) \sum_{j=K+1}^N (\delta_j - \delta_i) \right), & i = \overline{1, K}, \\ m\ddot{\delta}_i + \dot{\delta}_i = \frac{1}{N} \left( \cos(X - \alpha) \sum_{j=1}^K (\delta_j - \delta_i) + \cos \alpha \sum_{j=K+1}^N (\delta_j - \delta_i) \right), & i = \overline{K+1, N}, \end{cases} \quad (2.8)$$



Выполняя замену:

$$\begin{aligned}\eta_1 &= \frac{1}{K} \sum_{i=1}^K \delta_i - \frac{1}{N-K} \sum_{i=K+1}^N \delta_i, \\ \eta_2 &= \frac{1}{K} \sum_{i=1}^K \delta_i + \frac{1}{N-K} \sum_{i=K+1}^N \delta_i, \\ \xi_n &= \delta_{n+1} - \delta_n, \quad 1 \leq n \leq K-1, \\ \zeta_n &= \delta_{n+1} - \delta_n, \quad K+1 \leq n \leq N-1.\end{aligned}$$

Мы получаем:

$$\begin{cases} m\ddot{\eta}_1 + \dot{\eta}_1 + (\beta \cos(X - \alpha) + (1 - \beta) \cos(X + \alpha)) \eta_1 = 0, \\ m\ddot{\eta}_2 + \dot{\eta}_2 + ((1 - \beta) \cos(X + \alpha) - \beta \cos(X - \alpha)) \eta_1 = 0, \end{cases} \quad (2.9)$$

$$\begin{cases} m\ddot{\xi}_n + \dot{\xi}_n + ((1 - \beta) \cos(X + \alpha) + \beta \cos \alpha) \xi_n = 0, \\ m\ddot{\zeta}_n + \dot{\zeta}_n + ((1 - \beta) \cos \alpha + \beta \cos(X - \alpha)) \zeta_n = 0. \end{cases} \quad (2.10)$$

Так как  $X$  периодична, мы можем применить теорию Флоке и найти мультипликаторы, определяющие асимптотическое поведение решений системы.

Проанализируем систему 2.9 (переменные  $\eta_1, \eta_2$ ). Из 1.4 следует, что одним из решений первого уравнения является  $\dot{X}$ . Так как  $X$  периодична, то один из мультипликаторов равен 1. Согласно формуле Лиувилля-Остроградского, второй мультипликатор первого уравнения равен  $\exp(-\frac{T_x}{m})$ . Кроме того, полная система имеет решение  $\eta_1 = 0, \eta_2 = \text{const}$ , откуда следует, что еще один мультипликатор равен единице. Вновь применяя формулу Лиувилля-Остроградского, но уже ко всей системе, находим четвертый мультипликатор, равный  $\exp(-\frac{T_x}{m})$ . Итак, режим всегда внутренне устойчив.

Проанализируем систему 2.10 (переменные  $\xi, \zeta$ ). Переменная  $\xi$  соответствует малому кластеру, переменная  $\zeta$  соответствует большому кластеру. Они не связаны между собой. Благодаря такому разделению переменных, мы можем проследить как меняется устойчивость двух кластерного режима с периодической расстройкой фаз для каждого кластера. В зависимости от  $X$  устойчивость может пропасть или появиться только у одного или сразу у двух кластеров, благодаря чему мы можем понять каким образом двух кластерный режим будет разрушаться в случае потери устойчивости.

С помощью уравнений 2.10 определим устойчивость стационарного двух кластерного вращательного режима, соответствующего состоянию  $x_{p1}$ . Уравнения запишутся в виде:

$$x_{p1} = 0, \quad \alpha \in [-\pi/2, \pi/2] : \begin{cases} m\ddot{\xi}_n + \dot{\xi}_n + \cos \alpha \xi_n = 0, \\ m\ddot{\zeta}_n + \dot{\zeta}_n + \cos \alpha \zeta_n = 0. \end{cases} \quad (2.11)$$

$$x_{p_1} = 2 \arcsin \frac{(1 - 2\beta) \sin \alpha}{\sqrt{\cos^2 \alpha + (1 - 2\beta)^2 \sin^2 \alpha}} - \pi, \alpha \in [\pi/2, 3\pi/2) : \quad (2.12)$$

$$: \begin{cases} m\ddot{\xi}_n + \dot{\xi}_n + A(\alpha, \beta)\xi_n = 0, \\ m\ddot{\zeta}_n + \dot{\zeta}_n - A(\alpha, \beta)\zeta_n = 0. \end{cases}$$

Где  $A$  - некоторый коэффициент. Заметим, что при  $\alpha \in [-\pi/2, \pi/2)$ ,  $x_{p_1}$  - устойчива в исходной системе, при  $\alpha \in [\pi/2, 3\pi/2)$ ,  $x_{p_1}$  - неустойчива в исходной системе.

Получается, что в исходной системе двухкластерный вращательный режим с постоянной расстройкой фаз всегда является неустойчивым. Таким образом дальнейший анализ устойчивости мы будем проводить только для двухкластерных вращательных движений с периодической расстройкой фаз.

В результате численного моделирования были получены карты устойчивости двух кластерных вращательных режимов с периодической расстройкой фаз в области параметров  $\alpha$ ,  $m$ .

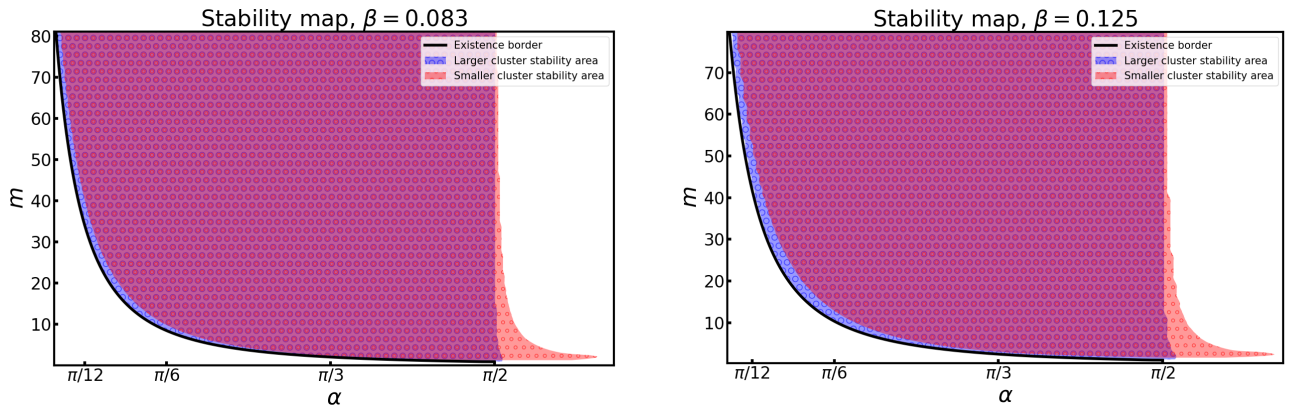


Рисунок 2.3. Карта устойчивости двух кластерных вращательных состояний с периодической расстройкой фаз. Область с малыми маркерами соответствует устойчивости малого кластера. Область с большими маркерами соответствует устойчивости большого кластера. На пересечении этих областей двух кластерный вращательный режим с периодической расстройкой фаз является устойчивым

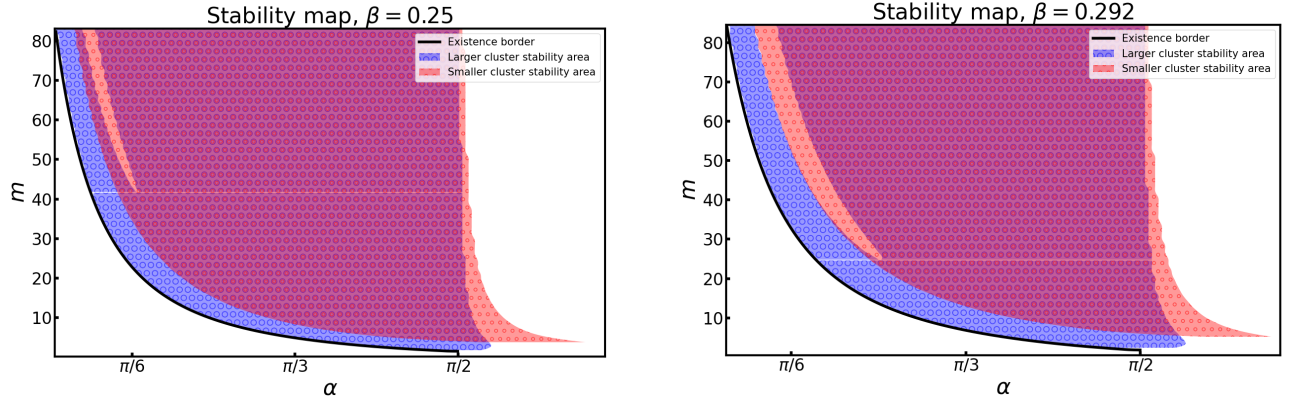


Рисунок 2.4. Карта устойчивости двух кластерных вращательных состояний с периодической расстройкой фаз. Область с малыми маркерами соответствует устойчивости малого кластера. Область с большими маркерами соответствует устойчивости большого кластера. На пересечении этих областей двух кластерный вращательный режим с периодической расстройкой фаз является устойчивым

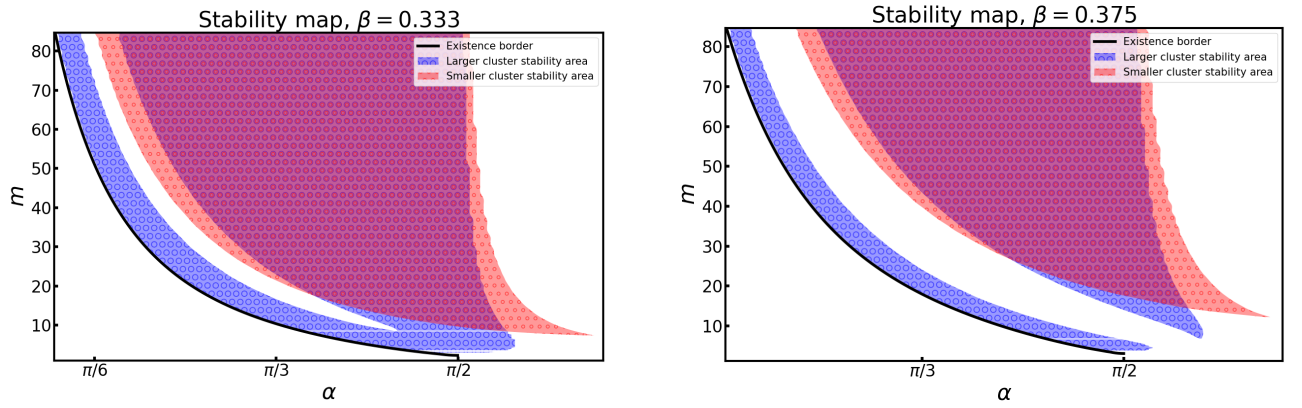


Рисунок 2.5. Карта устойчивости двух кластерных вращательных состояний с периодической расстройкой фаз. Область с малыми маркерами соответствует устойчивости малого кластера. Область с большими маркерами соответствует устойчивости большого кластера. На пересечении этих областей двух кластерный вращательный режим с периодической расстройкой фаз является устойчивым

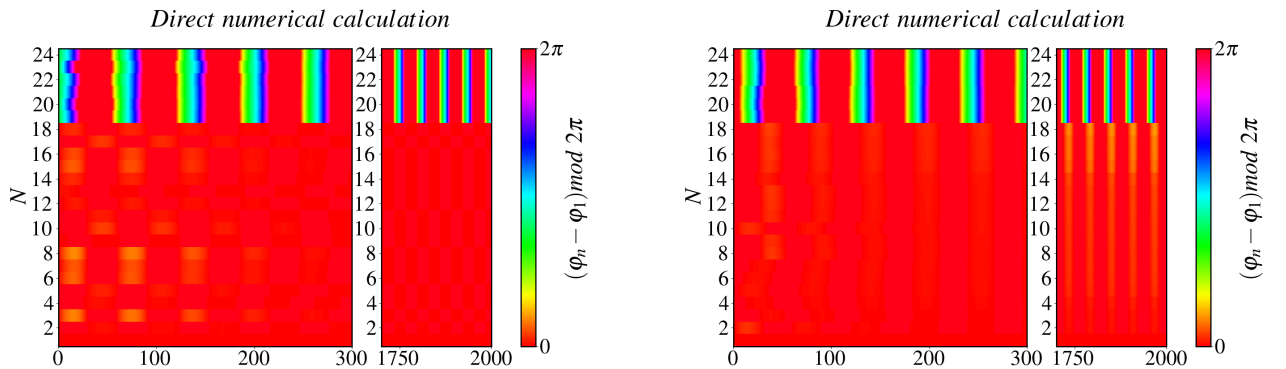


Рисунок 2.6. Карта устойчивости двух кластерных вращательных состояний с периодической расстройкой фаз. Область с малыми маркерами соответствует устойчивости малого кластера. Область с большими маркерами соответствует устойчивости большого кластера. На пересечении этих областей двух кластерный вращательный режим с периодической расстройкой фаз является устойчивым

### Direct numerical calculation

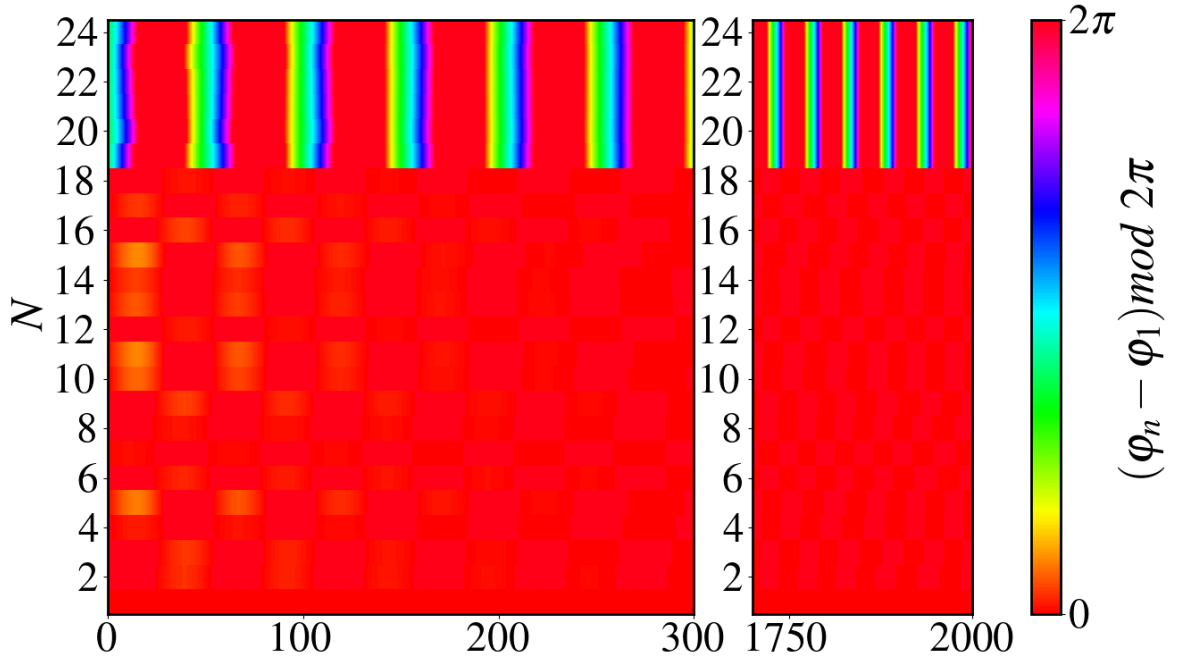


Рисунок 2.7. **Пространственно временная диаграмма.** Пространственно временные диаграммы изображены для каждого элемента, относительно первого элемента. Цвет характеризует фазу элемента. Параметры:  $N = 24$ ,  $m = 50$ ,  $\omega = 1$ ,  $\alpha = 0.54$  (см. рис. 2.4)

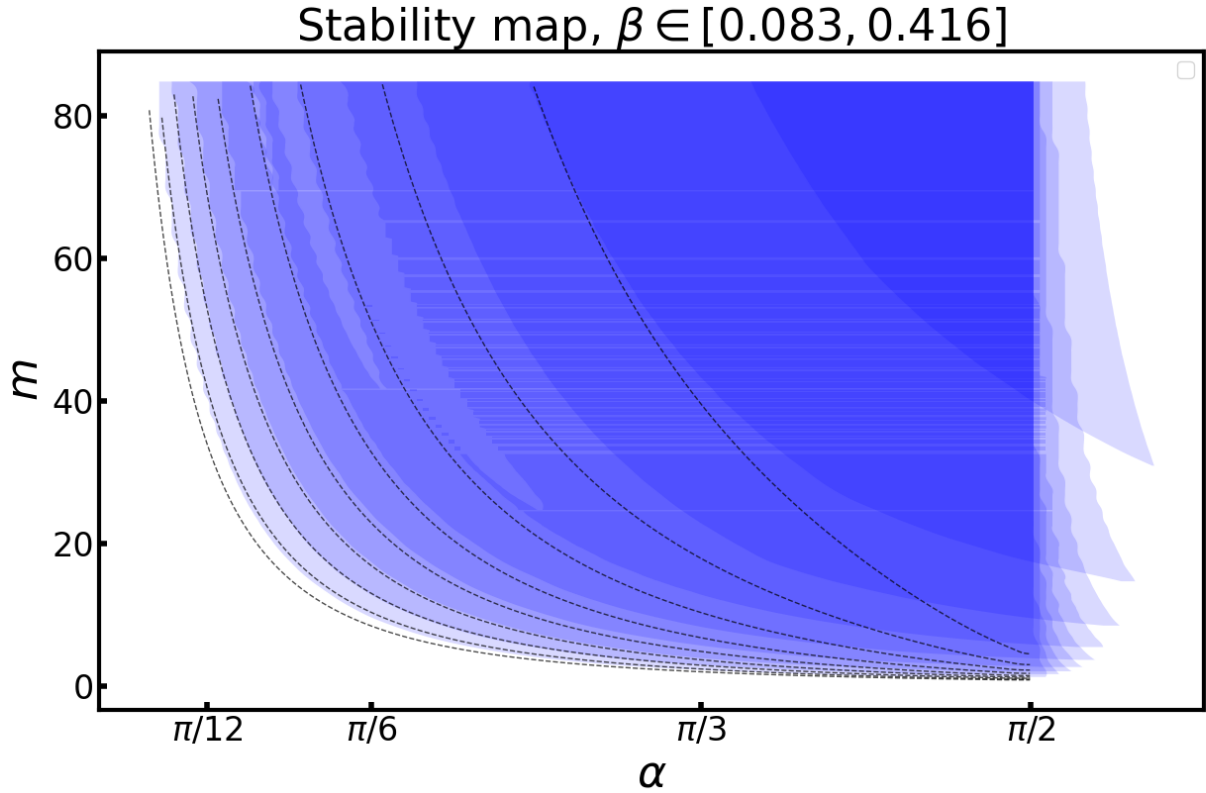


Рисунок 2.8. **Карта устойчивости двух кластерных вращательных состояний с периодической расстройкой фаз в зависимости от параметра  $\beta$ .** Внутри синей зоны двух кластерный режим является устойчивым.  $\beta = 0.494$

## ЗАКЛЮЧЕНИЕ

В данной работе были рассмотрены двух кластерные вращательные движения в системе Курамото с инерцией. Были определены типы возникающих двух кластерных режимов. Исследовали вопрос существования и устойчивости двух кластерных вращательных режимов в зависимости от управляющих параметров. Аналитические результаты подтверждены прямым численным моделированием. Также разработано web приложение, выполняющее прямое численное моделирование системы, доступное по ссылке

## СПИСОК ЛИТЕРАТУРЫ

1. F. C. Hoppensteadt and E. M. Izhikevich, Weakly connected neural networks, vol. 126 (Springer Science Business Media, 2012).
2. M. R. Tinsley, S. Nkomo, and K. Showalter, *Nature Physics* 8, 662 (2012).
3. J. Ding, I. Belykh, A. Marandi, and M.-A. Miri, *Physical Review Applied* 12, 054039 (2019).
4. F. Dörfler, M. Chertkov, and F. Bullo, *Proceedings of the National Academy of Sciences* 110, 2005 (2013).
5. Y. Kuramoto, in *International Symposium on Mathematical Problems in Theoretical Physics* (Springer, 1975), pp. 420–422.
6. S. H. Strogatz, *Physica D: Nonlinear Phenomena* 143, 1 (2000).
7. J. A. Acebrón, L. L. Bonilla, C. J. P. Vicente, F. Ritort, and R. Spigler, *Reviews of Modern Physics* 77, 137 (2005).
8. E. Barreto, B. Hunt, E. Ott, and P. So, *Physical Review E* 77, 036107 (2008).
9. E. Ott and T. M. Antonsen, *Chaos: An Interdisciplinary Journal of Nonlinear Science* 18, 037113 (2008).
10. H. Hong, H. Chaté, H. Park, and L.-H. Tang, *Physical Review Letters* 99, 184101 (2007).
11. A. Pikovsky and M. Rosenblum, *Physical Review Letters* 101, 264103 (2008).
12. Y. Maistrenko, O. Popovych, O. Burylko, and P. Tass, *Physical Review Letters* 93, 084102 (2004).
13. F. Dörfler and F. Bullo, *SIAM Journal on Applied Dynamical Systems* 10, 1070 (2011).
14. E. A. Martens, E. Barreto, S. Strogatz, E. Ott, P. So, and T. Antonsen, *Physical Review E* 79, 026204 (2009).